

В ДГ—ХЕ-типа векторы  $\mathbf{l}_1$  и  $\mathbf{l}_2$  также вращаются в плоскости ( $X$  $Y$ ), но направления их разворота противоположны. Распределение намагниченности в ДГ—ХЕ подобно (4), но  $\theta_1 = \theta_2 = \pi/2$ ,

$$\varphi_2 = -\varphi_1, \quad \sin \varphi_1 = \operatorname{ch}^{-1} \mathbf{x}_{XE} x, \quad \mathbf{x}_{XE}^2 = (\beta_2 + \delta_y + \delta_x)/\alpha. \quad (5)$$

Две другие ДГ (ДГ—ZA и ДГ—ZE) отличаются соответственно от ДГ—XA и ДГ—ХЕ только плоскостью разворота векторов  $\mathbf{l}_j$ . Им соответствуют  $\varphi_1 = \varphi_2 = 0$  и

$$\text{ДГ—ZA: } \theta_1 = \theta_2, \quad \cos \theta_1 = \operatorname{ch}^{-1} \mathbf{x}_{ZA} x, \quad \mathbf{x}_{ZA}^2 = (\beta_1 + \delta_y - \delta_x)/\alpha, \quad (6)$$

$$\text{ДГ—ZE: } \theta_2 = \pi - \theta_1, \quad \cos \theta_1 = \operatorname{ch}^{-1} \mathbf{x}_{ZE} x, \quad \mathbf{x}_{ZE}^2 = (\beta_1 + \delta_y + \delta_x)/\alpha. \quad (7)$$

Лоренц-инвариантность лагранжиана (3) позволяет легко получить и структуру движущихся ДГ, для чего в (4)—(7) достаточно сделать замену:  $x \rightarrow \xi = (x - Vt)(1 - V^2/c^2)^{-1/2}$ . Энергия всех ДГ равна  $E_n = 4\alpha M_0^2 \mathbf{x}_n(V)$ , где  $\mathbf{x}_n(V) = \mathbf{x}_n(0)(1 - V^2/c^2)^{-1/2}$  — обратная толщина соответствующей ДГ.

В работе [5] была высказана гипотеза, что каждой ветви спиновых волн отвечает свой тип ДГ. В обычных АФМ ДГ, соответствующие обменным ветвям спектра, имеют толщину порядка постоянной решетки, их энергия очень велика и поэтому такие ДГ не реализуются. В  $\text{La}_2\text{CuO}_4$  обменным ветвям спектра [2, 3] соответствуют ДГ—ХЕ и ДГ—ZE. Так как обменное взаимодействие между  $\text{CuO}_2$ -слоями мало и сравнимо с энергией анизотропии ( $\delta_x, \delta_y, \delta_z \sim \beta_{1,2}$ ), то вполне возможна ситуация, в которой могут существовать и даже быть энергетически выгодными именно ДГ—ХЕ или ДГ—ZE, которые по аналогии со спиновыми волнами будем называть обменными ДГ. Анализу устойчивости всех типов ДГ будет посвящена отдельная работа.

#### Список литературы

- [1] Боровик-Романов А. С., Буздин А. И., Крейнис Н. М. // Письма в ЖЭТФ. 1988. Т. 47. № 11. С. 600—603.
- [2] Барьяхтар В. Г., Локтев В. М., Яблонский Д. А. // СФХТ. 1989. Т. 2. № 1. С. 16—31.
- [3] Барьяхтар В. Г., Локтев В. М., Львов В. А. и др. // Препринт ИТФ-89-20Р. 1989. 17 с.
- [4] Барьяхтар В. Г., Иванов Б. А., Сукстанский А. Л. // ЖЭТФ. 1980. Т. 78. № 4. С. 1509—1522.
- [5] Барьяхтар В. Г., Иванов Б. А., Сукстанский А. Л. // Письма в ЖЭТФ. 1978. Т. 27. № 2. С. 226—229.

Донецкий физико-технический институт  
АН УССР  
Донецк

Поступило в Редакцию  
27 июля 1989 г.

УДК 535.323

© Физика твердого тела, том 32, № 4, 1990  
Solid State Physics, vol. 32, N 4, 1990

## ОПТИЧЕСКИЕ ИССЛЕДОВАНИЯ НИЗКОТЕМПЕРАТУРНОГО ФАЗОВОГО ПЕРЕХОДА В $\text{K}_2\text{ZnCl}_4$

*Н. А. Романюк, В. М. Габа, Б. И. Стадник*

Кристалл  $\text{K}_2\text{ZnCl}_4$  претерпевает такую последовательность ФП: параэлектрическая,  $P_{ma}$  ( $T=553$  К)  $\rightarrow$  несоразмерная,  $\mathbf{q}=(1-\delta)\mathbf{a}^*/3$  ( $T_{c1}=403$ )  $\rightarrow$  сегнетоэлектрическая,  $P_{n2a}$  ( $T_{c2}=?$ ) низкотемпературная фаза. Последнему низкотемпературному фазовому переходу (НТФП) сейчас уделяется значительное внимание, и тем не менее пока нет однозначности по температуре самого перехода и его природе.

Впервые в работе [1] методами комбинационного рассеяния света была обнаружена новая мягкая мода в  $K_2ZnCl_4$  ниже  $T_{c2}=175$  К, существование которой было подтверждено изломом температурной зависимости разности хода  $\beta=(\pi l/2\lambda) \Delta n_{bc}$ .

ЯКР исследования [2] показали, что НТФП в  $K_2ZnCl_4$  происходит при 145 К и является ФП 2-го рода. Недавние КР исследования [3] выявили НТФП при 155 К, который описывается авторами в рамках теории Ланда для ФП 2-го рода.

Таблица 1

Температурно-спектральные характеристики параметров оптической индикаторы кристаллов  $K_2ZnCl_4$

Направление	$dn/d\lambda, 10^{-4} \text{ нм}^{-1}$		$dn/dT, 10^{-4}, \text{град}^{-1}$	
	100 К	250 К	100 К	250 К
X	-1.27	-1.30	-0.30	-0.45
Y	-1.30	-1.30	-0.30	-0.48
Z	-1.24	-1.26	-0.30	-0.42

Дилатометрические исследования  $K_2ZnCl_4$  [4] выявили аномалии расширения при 145 К без скачка объема. Предполагается существование в этой области температур нового ФП, который связан с искажением ромбической структуры. Исследования упругих свойств подтвердили наличие НТФП при 145 К [5]; предполагается, что это сегнетоэластический ФП 1-го рода с понижением симметрии  $mm2 \rightarrow m$ .

Целью настоящей работы было уточнение температуры и определение характера низкотемпературного ФП в  $K_2ZnCl_4$  посредством измерения

Таблица 2

Дисперсия показателей преломления кристалла  $K_2ZnCl_4$

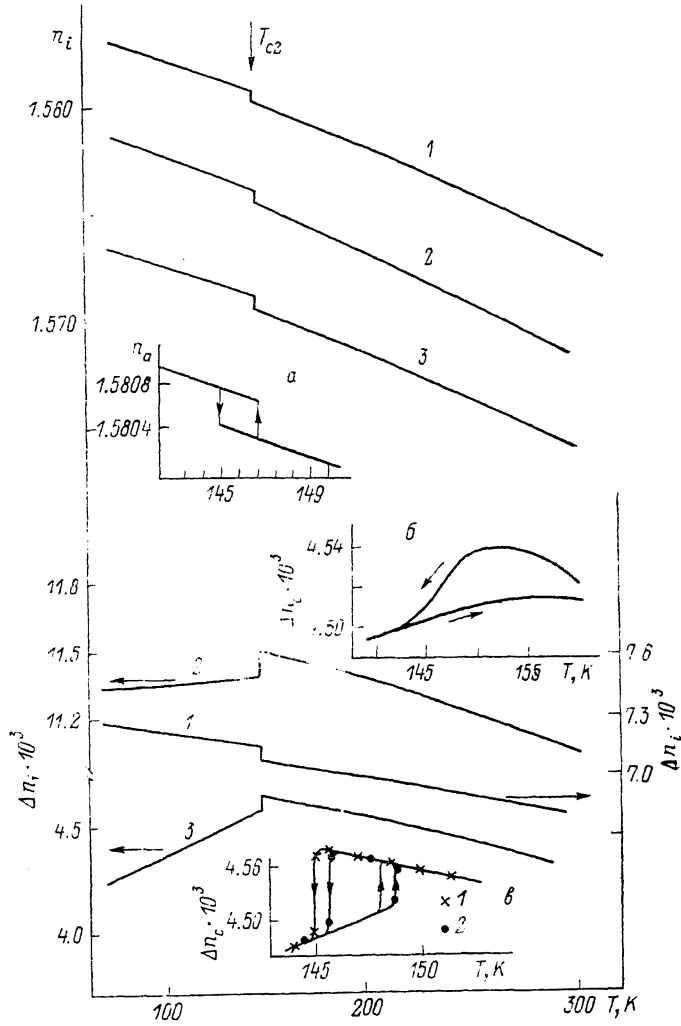
$\lambda, \text{нм}$	$n_x$	$n_y$	$n_z$	$\lambda, \text{нм}$	$n_x$	$n_y$	$n_z$
250	1.69675	1.69325	1.68820	660	1.56050	1.55665	1.55186
300	1.69300	1.63471	1.62791	700	1.55868	1.55465	1.55500
340	1.61432	1.60942	1.60335	740	1.55727	1.55320	1.54855
380	1.59855	1.59338	1.58795	780	1.55622	1.55212	1.54741
420	1.58782	1.58275	1.57745	820	1.55542	1.55125	1.54652
460	1.57976	1.57475	1.56992	850	1.55494	1.55075	1.54600
500	1.57368	1.56920	1.56432	900	1.5545	1.5500	1.5455
540	1.56900	1.56495	1.55985	950	1.5545	1.5490	1.5445
580	1.56545	1.56150	1.55658	1000	1.5535	1.5480	1.5445
620	1.56258	1.55878	1.55402	1050	1.5530	1.5480	1.5440

показателей преломления во всех кристаллофизических направлениях ( $n_i(\lambda, T)$ ,  $i=x, y, z$ ;  $n_x=n_a$ ,  $n_y=n_b$ ,  $n_z=n_c$ ) и абсолютных значений двупреломлений, которые имеют самостоятельный интерес, поскольку спектральные и температурные зависимости  $K_2ZnCl_4$  пока не изучены.

Кристаллы для исследований были выращены из водного раствора методом понижения температуры. Численные значения показателей преломления  $K_2ZnCl_4$  и их температурно-спектральные характеристики сведены в табл. 1, 2, а температурные зависимости  $n_i$  ( $i=x, y, z$ ) для ряда длии волн показаны на рисунке. (Точность определения показателей преломления  $\pm 1.5 \cdot 10^{-4}$ , двупреломления  $\pm 2 \cdot 10^{-5}$ ; чувствительность измерения  $n_i = \pm 1 \cdot 10^{-5}$ ,  $\Delta n_i = \pm 5 \cdot 10^{-5}$ ).

В сегнетофазе ( $P_{n21a}$ ) зависимости  $n_i(T)$  нелинейны, а при 145 К наблюдаются четкие скачкообразные аномалии. При циклическом изменении температуры обнаружен гистерезис аномальных изменений  $n_i(T)$ .

порядка 4 К. Независимые интерференционные исследования абсолютных значений двупреломления  $\Delta n_i$  также выявили при 145 К скачкообразные аномалии  $\Delta n_i$  с гистерезисом 4.5 К. Величины скачков составляют  $\delta\Delta n_x = 4 \cdot 10^{-4}$ ;  $\delta\Delta n_y = 8.2 \cdot 10^{-4}$ ;  $\delta\Delta n_z = 4.2 \cdot 10^{-4}$ . На основании этих данных можно говорить о существовании в  $K_2ZnCl_4$  ФП при 145 К, а характер наблюдаемых аномалий  $n_i(T)$  и  $\Delta n_i(T)$  свидетельствует в пользу того, что это ФП 1-го рода.



Температурно-спектральные зависимости показателей преломления кристалла  $K_2ZnCl_4$  при  $\lambda=500$  нм (1 —  $x$ , 2 —  $y$ , 3 —  $z$ ) и двупреломления при  $\lambda=300$  нм (1 —  $a$ -срез, 2 —  $b$ -срез, 3 —  $c$ -срез).

На вставках:  $a$  — температурная зависимость показателя преломления  $n_a$   $K_2ZnCl_4$  неподалеку от точки НТФП;  $b$  — свежевырезанный кристалл;  $b$  — кристаллы, отожженные в течение 5 (1) и 2 ч (2).

В [5] высказано предположение, что изучаемый НТФП является чистым сегнетоэластическим. Проведенные авторами [5] расчеты показали, что величина скачка спонтанной деформации составляет  $1.2 \cdot 10^{-3}$ . Принимая во внимание, что для подавляющего большинства кристаллов упругооптический коэффициент  $p_{ij}$  имеет величину 0.1 [6], легко определить порядок  $p$  для  $K_2ZnCl_4$ . С учетом наших данных и  $x_i$  из [5] приближенное значение  $p \sim 0.3$ . Таким образом, величина упругооптического коэффициента несколько завышена, однако по порядку согласуется с [6], а это говорит в пользу сегнетоэластичности низкотемпературной фазы  $K_2ZnCl_4$ . Приведенные результаты получены для образцов  $K_2ZnCl_4$ , отожженных

в парафазе в течение 5 ч. Кроме того, нами проводились исследования для образцов, отожженных в течение 2 ч, и для свежеизготовленных. Во всех трех случаях значения  $n_i(\lambda, T)$  и  $\Delta n_i(\lambda, T)$  практически не различаются, за исключением области низкотемпературного фазового перехода. Как видно из рисунка, у отожженных в течение 2 ч образцов гистерезис расширен на 0.7 К, а величина скачка  $\Delta n_i$  уменьшена на  $0.8 \cdot 10^{-5}$  по сравнению с образцом, отожженным в течение 5 ч. В случае предварительно неотожженных образцов при переходе из сегнетофазы в низкотемпературную фазу скачка  $\Delta n_i$  не наблюдается, а появляется S-подобная аномалия, охватывающая область 143—147 К. При переходе из низкотемпературной фазы в сегнетофазу эта аномалия размывается и значения  $\Delta n_i$  в сегнетофазе с нагреванием и охлаждением уже не совпадают.

Значительные гистерезисные явления и размытие аномалий ряда физических свойств в  $K_2ZnCl_4$  при переходе из несоразмерной в сегнетофазу ( $T_{c1}=403$  К) объясняются присутствием в соразмерной СЭ фазе остаточных фазовых солитонов вследствие их закрепления на дефектах. В [2] на основании ЯКР исследований, например, показано, что метастабильная плотность солитонов, связанных примесями или дискретной решеткой, может существовать до 300 К, т. е. ниже  $T_{c1}$  на 100 К.

Неотожженные кристаллы  $K_2ZnCl_4$ , как известно [2], обогащены дефектами из-за наличия в них кристаллизационной воды, и это, естественно, ведет к росту плотности остаточных фазовых солитонов в сегнетофазе. Поэтому можно предположить, что в исходных образцах определенная плотность солитонов существует вплоть до 145 К, что и приводит к размытию аномалии при НТФП и большому гистерезису в сторону сегнетофазы.

Таким образом, можно сказать, что имеющиеся в литературе разногласия по температуре и характеру НТФП связаны скорее всего с предысторией образца (способ выращивания, дефектность, отжиг).

#### Список литературы

- [1] Quilichini M., Mathieu J. P., Le Postollec H. // J. Physique. 1983. V. 43. N 5. P. 787—793.
- [2] Milia F., Kind R., Slak J. // Phys. Rev. B. 1983. V. 27. N 11. P. 6662—6668.
- [3] Sekine T., Takayana M., Uchinokura K., Matsaura E. // J. Phys. Soc. Jap. 1986. V. 55. N 11. P. 3903—3917.
- [4] Флеров И. Н., Кот Л. А. // ФТТ. 1981. Т. 23. № 8. С. 2422—2425.
- [5] Шувалов Л. А., Гридинев С. А., Прасолов Б. И., Санников Д. Г. // ФТТ. 1984. Т. 26. № 1. С. 272—274.
- [6] Нарасимхамурти Т. Фотоупругие и электрооптические свойства кристаллов. М., 1984. 624 с.

Львовский государственный университет  
им. И. Франко  
Львов

Поступило в Редакцию  
2 января 1989 г.  
В окончательной редакции  
7 августа 1989 г.

УДК 537.11

© Физика твердого тела, том 32, № 4, 1990  
Solid State Physics, vol. 32, N 4, 1990

#### ОСОБЕННОСТИ МАГНИТНОЙ ВОСПРИИМЧИВОСТИ $(C_2H_5NH_3)_2CuCl_4$ В ОКРЕСТНОСТИ ТРИКРИТИЧЕСКОЙ ТОЧКИ

А. Н. Богданов, А. В. Журавлев, А. И. Нуныя

1. В легкоосных антиферромагнетиках, помещенных в магнитное поле  $H$ , параллельное оси легкого намагничивания (ЛО), обычно наблюдается фазовый переход II рода (ФПII) из антиферромагнитной (АФ) в парамагнитную (ПМ) фазу (см., например, [1, 2]). Однако в [3] было показано,